

# О напряженно-деформированном состоянии инструмента в процессах течения тонкого пластического слоя

к.т.н. проф. Бодунов М.А., Бородин И.В., к.ф.-м.н. доц. Бодунов Д.М.

Университет машиностроения

(495) 2230523, m.a.bodunov@mail.ru, xborodin@gmail.com, d-bodunov@mail.ru

**Аннотация.** Работа является продолжением исследований коллектива авторов и посвящена проблеме течения тонкого слоя пластически анизотропного материала по поверхности упругого тела. Полученные ранее результаты использованы для формулировки задачи теории упругости и исследования напряженно-деформированного состояния упругого тела (инструмента).

**Ключевые слова:** анизотропия материала, тонкий слой, напряженно-деформированное состояние.

Математическая модель процесса (квазистатика) течения тонкого пластического слоя по упруго-деформируемой поверхности рассматривается в работах [1 – 4], предложены методы исследования данной модели [2, 4], получены важные результаты [4, 7, 8], но, в основном, исследуется геометрия слоя – форма контура, разнотолщинность и т.д. В представленной работе внимание уделяется исследованию напряженно-деформированного состояния упругого тела, на грани которого и происходит течение. Принимая во внимание тот факт, что совместная постановка задач теории течения и теории упругости рассматривается в [8], остановимся подробнее на задаче теории упругости.

Запишем основные её соотношения, которыми определяется напряженно-деформированное состояние тела инструмента.

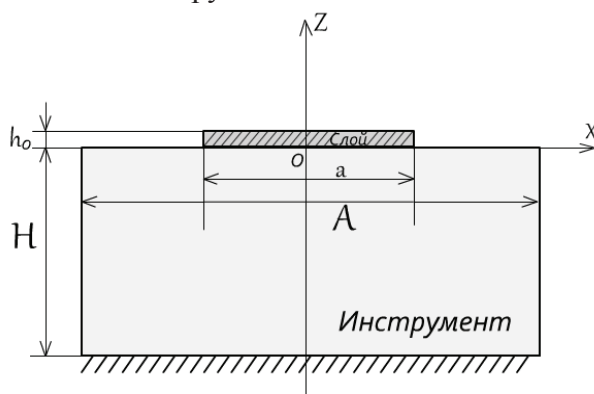


Рисунок 1. Схема процесса

Формулы Коши:

$$\begin{aligned}\varepsilon_{xx} &= \frac{\partial u_x}{\partial x}; \quad \varepsilon_{xz} = \frac{1}{2} \left( \frac{\partial u_z}{\partial x} + \frac{\partial u_x}{\partial z} \right); \\ \varepsilon_{yy} &= \frac{\partial u_y}{\partial y}; \quad \varepsilon_{yz} = \frac{1}{2} \left( \frac{\partial u_z}{\partial y} + \frac{\partial u_y}{\partial z} \right); \\ \varepsilon_{zz} &= \frac{\partial u_z}{\partial z}; \quad \varepsilon_{xy} = 0.\end{aligned}$$

Соотношения Ламе:

$$\begin{aligned}\sigma_{xx} &= \lambda\theta + 2\mu\varepsilon_{xx}; \quad \sigma_{xz} = 2\mu\varepsilon_{xz}; \\ \sigma_{yy} &= \lambda\theta + 2\mu\varepsilon_{yy}; \quad \sigma_{yz} = 2\mu\varepsilon_{yz}; \\ \sigma_{zz} &= \lambda\theta + 2\mu\varepsilon_{zz}; \quad \sigma_{xy} = 0.\end{aligned}$$

Уравнения равновесия в форме Ламе:

$$\begin{cases} (\lambda + \mu) \frac{\partial \theta}{\partial x} + \mu \Delta u_x = 0; \\ (\lambda + \mu) \frac{\partial \theta}{\partial y} + \mu \Delta u_y = 0; \\ (\lambda + \mu) \frac{\partial \theta}{\partial z} + \mu \Delta u_z = 0; \end{cases}$$

здесь:  $\Delta$  – оператор Лапласа,  $\theta = \varepsilon_{xx} + \varepsilon_{yy} + \varepsilon_{zz}$ .

Запишем граничные условия задачи теории упругости:

$$\begin{cases} 1. z = -H: & u_z = 0; \quad \sigma_{xz} = 0; \quad \sigma_{yz} = 0; \\ 2. z = 0: \\ \quad S1: & \sigma_{zz} = -p; \quad \sigma_{xz} \cong 0; \quad \sigma_{yz} \cong 0; \\ \quad S2: & \sigma_{zz} = 0; \quad \sigma_{xz} = 0; \quad \sigma_{yz} = 0; \\ 3. \text{ боковая поверхность } \Gamma_2: \\ & \sigma_{ij} n_j = 0. \end{cases}$$

Здесь  $S_1$  – область, занятая слоем,  $S_0$  – свободная область поверхности контакта. С помощью соотношений Ламе граничные условия можно записать в перемещениях:

$$\begin{cases} 1. z = -H: & u_z = 0; \quad \frac{\partial u_x}{\partial z} = 0; \quad \frac{\partial u_y}{\partial z} = 0; \\ 2. z = 0, \quad S1: & (2\mu + \lambda) \frac{\partial u_z}{\partial z} + \lambda \left( \frac{\partial u_x}{\partial x} + \frac{\partial u_y}{\partial y} \right) = -P(x, y); \\ & \frac{\partial u_z}{\partial x} + \frac{\partial u_x}{\partial z} = 0; \\ & \frac{\partial u_z}{\partial y} + \frac{\partial u_y}{\partial z} = 0; \\ z = 0, \quad S2: & (2\mu + \lambda) \frac{\partial u_z}{\partial z} + \lambda \left( \frac{\partial u_x}{\partial x} + \frac{\partial u_y}{\partial y} \right) = 0; \\ & \frac{\partial u_z}{\partial x} + \frac{\partial u_x}{\partial z} = 0; \\ & \frac{\partial u_z}{\partial y} + \frac{\partial u_y}{\partial z} = 0; \\ 3. \text{ боковая поверхность } \Gamma_2: \\ & \sigma_{ij} n_j = 0. \end{cases}$$

Решение задачи теории упругости получено с помощью метода конечных элементов в вычислительной среде ANSYS. При этом напряжения  $\sigma_{zz}$  были известны из решений, полученных ранее [9].

Ниже приводится один из полученных результатов исследования: для определенного набора параметров совместной задачи получено, в частности, распределение давления (рисунок 2).

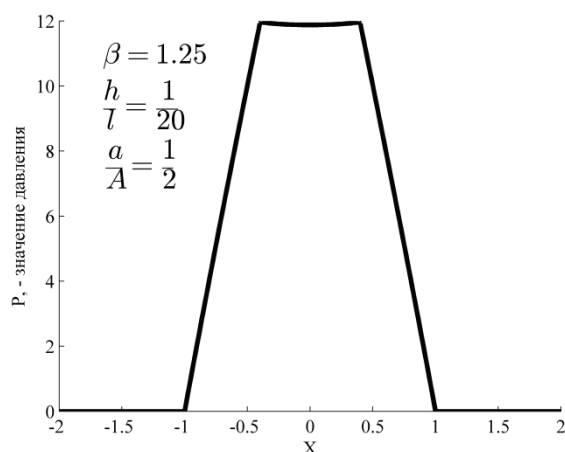
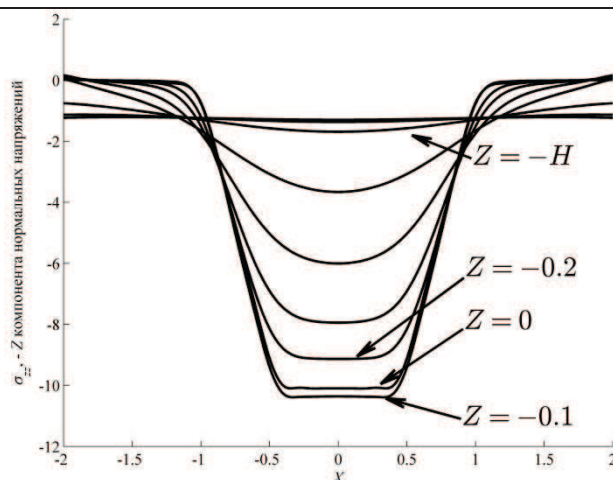
Рисунок 2. Давление в сечении  $y = 0$ 

Рисунок 3. Распределение нормальных напряжений в инструменте

Здесь  $\beta$  – параметр анизотропии,  $h/\ell$  – относительная толщина слоя,  $a/A$  – параметр модели.

Далее представлено распределение нормальных напряжений в теле инструмента; показано, что при переходе от поверхности контакта к опорной поверхности нормальные напряжения постепенно выравниваются по горизонтальной плоскости (рисунок 3).

Также определена интенсивность напряжений (по Мизесу), распределенных по оси  $Oz$  (рисунки 4, 5)

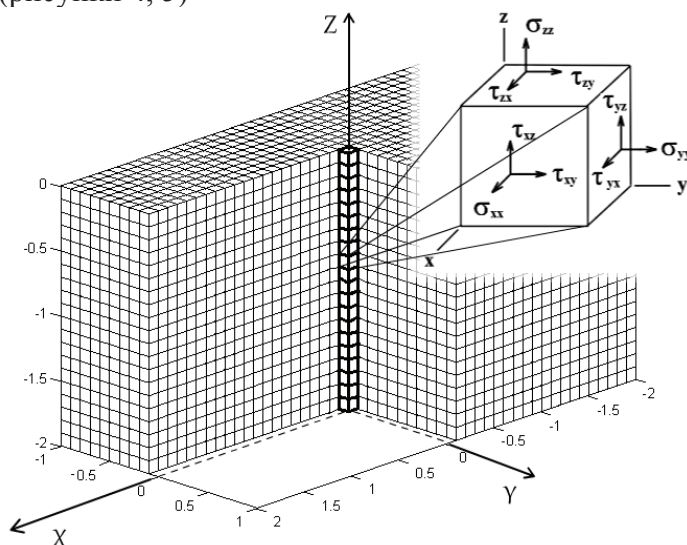
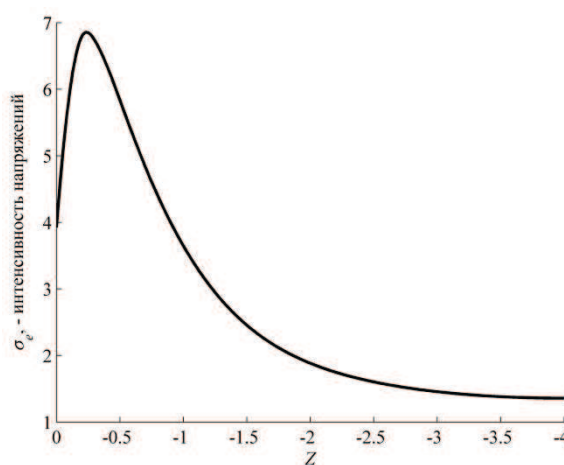


Рисунок 4. Группа элементов, составляющих «центр» упругого тела

Рисунок 5. Распределение интенсивности напряжений в инструменте по оси  $Oz$ 

Как видно из рисунка, наибольшая интенсивность напряжений в инструменте находится не на контактной поверхности, а на некотором углублении от нее, что может быть обусловлено влиянием сдвиговых напряжений элементов, расположенных «под» контактной поверхностью.

### Литература

1. Ильюшин А.А. Вопросы теории течения пластического вещества по поверхностям // Прикл. матем. и мех. – 1954, т. 18, № 3. – с. 265 - 288.
2. Ильюшин А.А. Полная пластичность в процессах течения между жесткими поверхностями, аналогия с песчаной насыпью и некоторые приложения // Прикл. матем. и мех. – 1955, т. 19, № 6. – с. 693 - 713.

3. Кийко И.А. Теория пластического течения в тонком слое металла. – М.: Инст. мех. МГУ, 1971. – 66 с.
4. Кийко И.А., Анизотропия в процессах течения тонкого пластического слоя//ПММ, 2006, т.70, вып.2, с. 344 - 351.
5. Новацкий В. Теория упругости // М., Наука. – 1975. – 872 с.
6. Кийко И.А. Вариационный принцип в задачах течения тонкого слоя пластического вещества // ДАН СССР. – 1964, т. 157, № 3. – с. 551 - 553.
7. Бодунов Д.М. Течение тонкого слоя идеально-пластического материала по деформируемым поверхностям: Дис... канд. физ.-мат.н. – М., МГТУ МАМИ, 2004. – 163 с.
8. Коваленко П.В., Течение тонкого слоя пластического материала по грани упруго-деформируемого инструмента, Дис... канд. физ.-мат.н. – М., МГТУ МАМИ, 2009. – 129 с.
9. Бодунов М.А, Бородин И.В., Кийко Л.К., Течение тонкого слоя пластически анизотропного материала по грани упругого параллелепипеда // М., Известия МАМИ, 2014, .т 3, с. 22 - 29.